## O Problema de Estabilidade Absoluta

Leonardo A. B. Tôrres

Julho de 2023

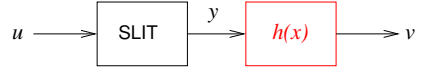
- 2 Sistemas de Lur'e e o Problema de Estabilidade Absoluta
- 3 Passividade de Sistemas Lineares e Invariantes no Tempo
- 4 O Critério do Círculo
- 5 O Critério de Popov

É comum encontrar sistemas não lineares resultantes da associação entre um Sistemas Linear Invariante no Tempo – SLIT e uma função não linear. Duas classes bem conhecidas são os:

Sistemas de Hammerstein



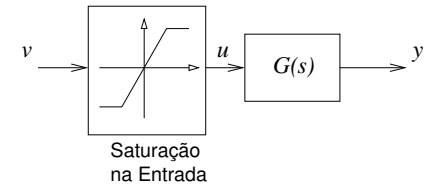
Sistemas de Wiener



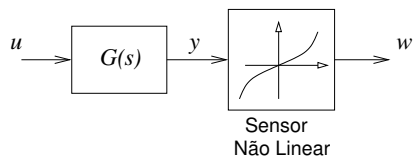
Em muitos casos as funções não lineares são estáticas, i.e. não mudam ao longo do tempo, mas são consideradas sempre sem memória (não são sistemas dinâmicos com estados internos). Nos casos acima,  $h(\cdot)$ representa uma função não linear.

Por exemplo, dois casos típicos encontrados em controle são:

 Sistemas com saturação da variável manipulada (o que sempre acontece na prática):



 Sistemas em que se emprega um instrumento de medição com características estáticas não lineares:



Quando consideramos a Estabilidade Interna de sistemas de controle em Malha Fechada, temos os seguintes casos:

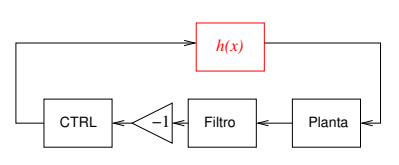
#### Sistemas de Hammerstein

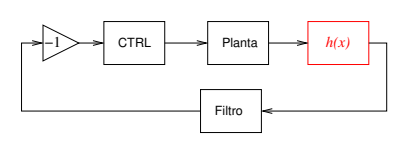




Quando consideramos a Estabilidade Interna de sistemas de controle em Malha Fechada, temos os seguintes casos:

#### Sistemas de Hammerstein

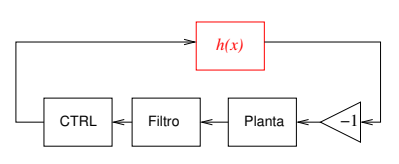


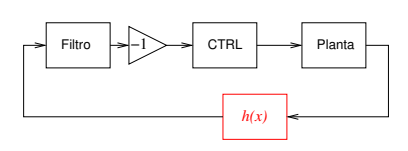


## Análise de Estabilidade em Malha Fechada

Quando consideramos a Estabilidade Interna de sistemas de controle em Malha Fechada, temos os seguintes casos:

#### Sistemas de Hammerstein



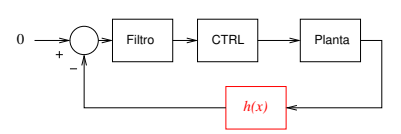


## Análise de Estabilidade em Malha Fechada

Quando consideramos a Estabilidade Interna de sistemas de controle em Malha Fechada, temos os seguintes casos:

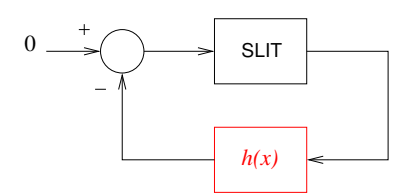
#### Sistemas de Hammerstein



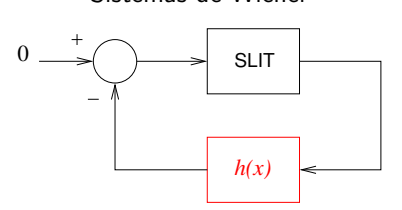


Quando consideramos a Estabilidade Interna de sistemas de controle em Malha Fechada, temos os seguintes casos:

#### Sistemas de Hammerstein

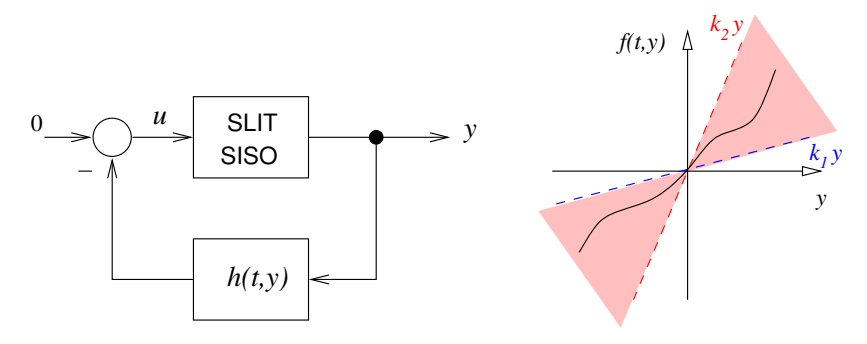


#### Sistemas de Wiener



Ou seja, ambos os casos conduzem ao mesmo problema de Análise de Estabilidade Interna.

Um classe importante de problemas de controle é representada pelo chamado Problema de Lur'e, também conhecido como Problema da Estabilidade Absoluta, formulado em [3]:



Sistema de Lur'e e não-linearidade setorial

## Sistemas de Lur'e II

Neste caso, a função não linear  $h(t,y): \mathbb{R}^+ \times \mathbb{R} \to \mathbb{R}$  é sem memória, pode ser variante no tempo, e respeita as restrições:

$$k_1 y \le h(t, y) \le k_2 y$$
, para  $y \ge 0$ ,  
 $k_2 y \le h(t, y) \le k_1 y$ , para  $y < 0$ ,

que é equivalente a, para  $k_2 - k_1 > 0$ ,

$$[k_2y - h(t,y)][k_1y - h(t,y)] \le 0,$$

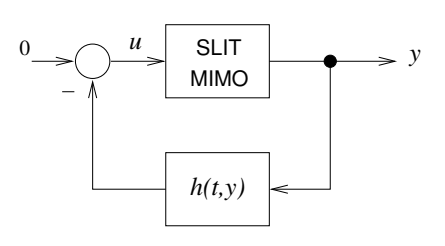
e diz-se que "a não linearidade h pertence ao setor  $[k_1,k_2]$ ", i.e.

$$h \in [k_1, k_2].$$

Outras duas notações possíveis são:

- $1 h \in [0,\infty] \iff yh(t,y) \ge 0.$
- $h \in [k_1, \infty] \iff y[k_1y h(t,y)] \le 0.$

 Existe também o problema correlato, mais geral, mostrado na Figura abaixo.



SLIT MIMO e não-linearidade sem memória e variante no tempo.

A função não linear  $h(t,y): \mathbb{R}^+ \times \mathbb{R}^m \to \mathbb{R}^m$ , com  $u \in \mathbb{R}^m$  e  $y \in \mathbb{R}^m$ , obedece a

$$[K_2y - h(t,y)]^{\top}[K_1y - h(t,y)] \le 0,$$

em que  $K_2 - K_1 = K = K^{\top} > 0$  é definida positiva. Neste caso, dizemos que "a função h pertence ao setor  $[K_1, K_2]$ ", i.e.

$$h \in [K_1, K_2].$$

Outras duas notações possíveis são:

- $h \in [0,\infty] \iff y^{\top}h(t,y) > 0.$
- $h \in [K_1, \infty] \iff y^{\top}[K_1y h(t,y)] < 0.$

## Sistemas de Lur'e IV

■ No caso de não-linearidades setoriais multivariáveis, pode ser difícil encontrar as matrizes  $K_1$  e  $K_2$  da desigualdade anterior. Um resultado interessante é:

$$||h(t,y) - Ly|| \le \gamma ||y||$$

$$\updownarrow$$

$$[K_2y - h(t,y)]^{\top} [K_1y - h(t,y)] \le 0,$$

para

$$K_1 = L - \gamma I, \qquad K_2 = L + \gamma I,$$

e 
$$\gamma \geq 0$$
.

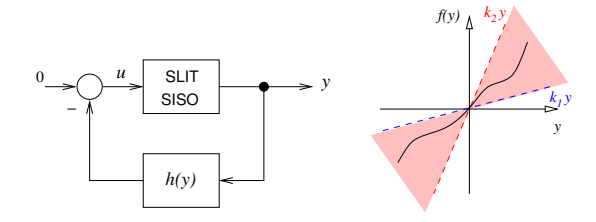
- A ideia é agrupar os elementos não lineares de uma malha de controle, separando-os da parcela linear.
- O desafio é, a partir do conhecimento dos limites setoriais da função não linear e das matrizes A, B, C, D que definem o SLIT (supondo uma realização mínima em Espaço de Estados, i.e. o par (A,B) é controlável e o par (C,A) é observável), obter condições suficientes para que a origem do Espaço de Estados seja um P.E. Globalmente Uniformemente Assintoticamente Estável. Este problema ficou conhecido como

O Problema de Estabilidade Absoluta

- No Problema de Estabilidade Absoluta o alvo é garantir um sistema de controle em malha fechada que seja robustamente estável (permaneça estável mesmo com a presença da não-linearidade setorial desconhecida e possivelmente variante no tempo).
- Outra aplicação de sistemas de Lur'e é no projeto de osciladores (e.g. osciladores eletrônicos usados em telecomunicações). Aqui o objetivo é precisamente o contrário do anterior: determinar em que condições o P.E. será instável, e haverá um ciclo-limite estável.

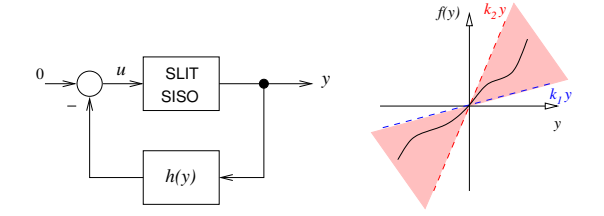
## Conjectura de Aizerman (1949)[1]

Se o sistema em malha fechada for estável para qualquer escolha de realimentação linear u = -ky, com  $k_1 < k < k_2$ , então será estável para qualquer função não linear u = -f(y), com  $k_1 y^2 \le y f(y) \le k_2 y^2$ .



## Conjectura de Aizerman (1949)[1]

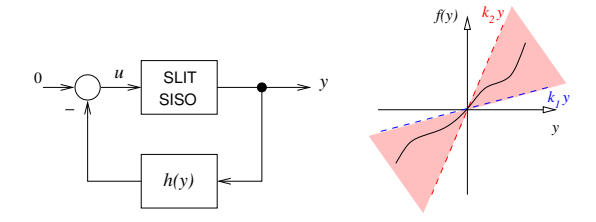
Se o sistema em malha fechada for estável para gualquer escolha de realimentação linear u = -ky, com  $k_1 < k < k_2$ , então será estável para qualquer função não linear u = -f(y), com  $k_1 y^2 \le y f(y) \le k_2 y^2$ .



Contra-exemplos para n=2 em 1952: **FALSA**.

## Conjectura de Kalman (1957)[2]

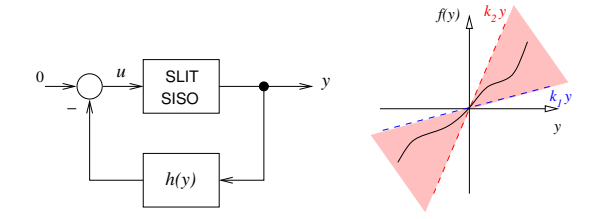
Se o sistema em malha fechada for estável para qualquer escolha de realimentação linear u = -ky, com  $k_1 < k < k_2$ , então será estável para qualquer função não linear u = -f(y) tal que  $k_1 \le \frac{df}{dy} \le k_2$ .



# A Conjectura de Kalman

## Conjectura de Kalman (1957)[2]

Se o sistema em malha fechada for estável para qualquer escolha de realimentação linear u = -ky, com  $k_1 < k < k_2$ , então será estável para qualquer função não linear u = -f(y) tal que  $k_1 \leq \frac{df}{dy} \leq k_2$ .



Contra-exemplos para n=3 em 1958: **FALSA**.

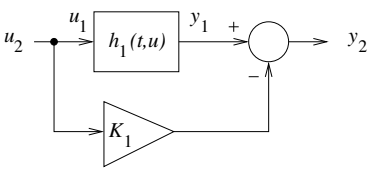
## Análise baseada na Teoria da Passividade

- Estratégias realmente efetivas para análise de estabilidade absoluta foram propostas valendo-se das propriedades de passividade dos sistemas envolvidos
- Ideia central:
  - 1 Mostrar que a parte linear é estritamente passiva (SP), ou estritamente passiva pela saída e observável (OSP + ZSO).
  - 2 Mostrar que a não-linearidade setorial é passiva.
  - 3 Reconhecer que o SLIT e a não-linearidade setorial estão em realimentação negativa, o que produz um sistema assintoticamente estável em malha fechada (composição em realimentação de 2 sistemas passivos, um deles estritamente passivo).
- A abordagem acima ainda pode ser estendida para casos mais gerais (SLITs não passivos), usando um "truque" muito interessante: a construção de um problema de estabilidade equivalente usando as chamadas Transformações de Laco.

O problema de estabilidade absoluta pode ser estudado por meio de um problema equivalente, obtido usando as chamadas Loop Transformations.

Com elas, uma não-linearidade setorial pode ser "transformada" em uma não-linearidade pertencente ao setor  $[0,\infty]$ .

■ Transformação 1: De  $h_1(t,u_1) \in [K_1,K_2]$  para  $h_2(t,u_2) \in [0,K_2-K_1]$  via ação direta negativa (negative feedforward):



#### Demonstração.

Hipótese:

$$[K_2 u_1 - h_1(t, u_1)]^{\top} [K_1 u_1 - h_1(t, u_1)] \le 0.$$
(1)

Do diagrama, tem-se que  $u_2 = u_1$  e  $y_2 = h_2(u_2) = h_1(u_2) - K_1u_2$ . Portanto,  $h_2(u_2) + K_1 u_2 = h_1(u_2)$ . Substituindo em (1),

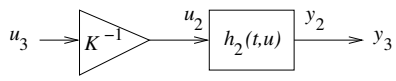
$$[K_2u_2 - h_2(u_2) - K_1u_2]^{\top}[K_1u_2 - h_2(u_2) - K_1u_2)] \le 0,$$
  

$$[(K_2 - K_1)u_2 - h_2(u_2)]^{\top}[-h_2(u_2)] \le 0 \Leftrightarrow h_2 \in [0, K],$$

em que 
$$K = K_2 - K_1$$
.

# Transformações de Laço III

■ Transformação 2: De  $h_2(t,u_2) \in [0,K]$  para  $h_3(t,u_3) \in [0,I]$ , com K > 0, via inclusão de ganho:



### Demonstração.

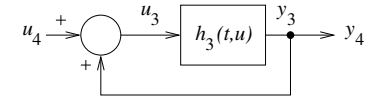
Hipótese:

$$[Ku_2 - h_2(t, u_2)]^{\top} [-h_2(t, u_2)] \le 0.$$
 (2)

Do diagrama, tem-se que  $y_3 = h_3(t, u_3) = y_2 = h_2(t, u_2)$  e  $u_3 = Ku_2$ . Substituindo em (2),

$$[u_3 - h_3(t, u_3)]^{\top}[-h_3(t, u_3)] \le 0 \Leftrightarrow h_3 \in [0, I].$$

■ Transformação 3: De  $h_3(t,u_3) \in [0,I]$  para  $h_4(t,u_4) \in [0,\infty]$  via realimentação positiva (positive feedback):



Um aspecto importante é considerar que o sistema realimentado acima define um problema "bem-colocado" (well-posed), no sentido de que existe uma única solução  $y_4$ , para cada  $u_4$ , que satisfaz a relação  $h_3(t, u_4 + y_4) = y_4$ . E essa solução única pode ser representada como  $u_4 = h_4(t, u_4)$ .

### Demonstração.

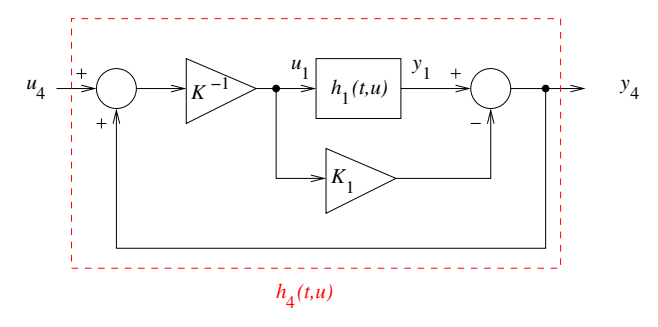
Partindo da existência da relação  $y_4 = h_4(t, u_4)$ , a outra hipótese é que:

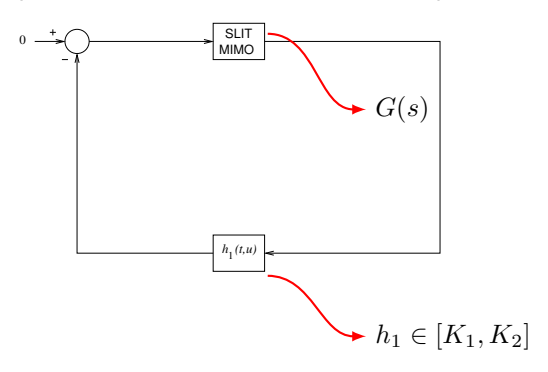
$$[u_3 - h_3(t, u_3)]^{\top} [-h_3(t, u_3)] \le 0.$$
(3)

Do diagrama, tem-se que  $y_3 = h_3(t, u_3) = y_4 = h_4(t, u_4)$  e  $u_3 = u_4 + y_4$ . Substituindo em (3),

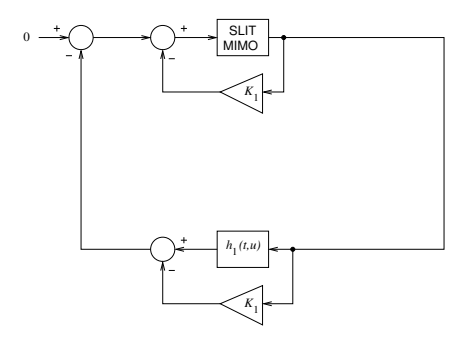
$$[u_4 + y_4 - h_4(t, u_4)]^{\top} [-h_4(t, u_4)] \le 0,$$
  
$$u_4^{\top} h_4(t, u_4) \ge 0 \Leftrightarrow h_4 \in [0, \infty].$$

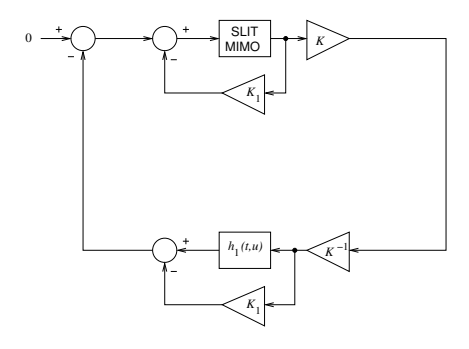
Ao compormos as 3 transformações de laço anteriores, a partir de qualquer não linearidade setorial  $h_1 \in [K_1, K_2]$ , pode-se obter uma não linearidade  $h_4 \in [0,\infty]$ .

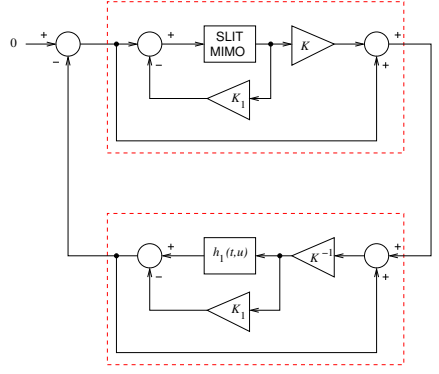




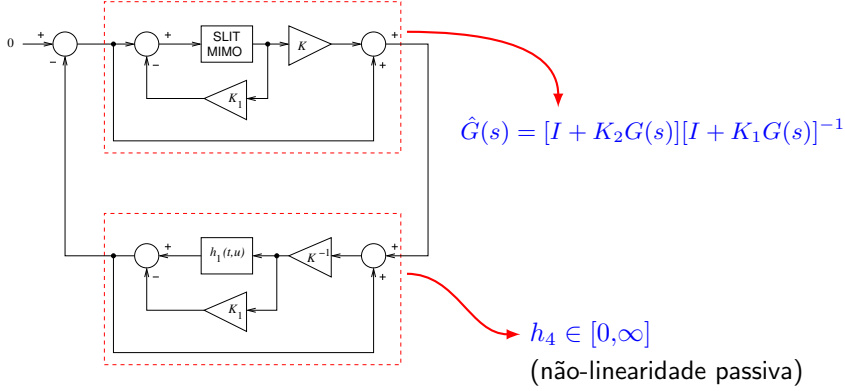
# Estabilidade Absoluta: Transformações de Laço

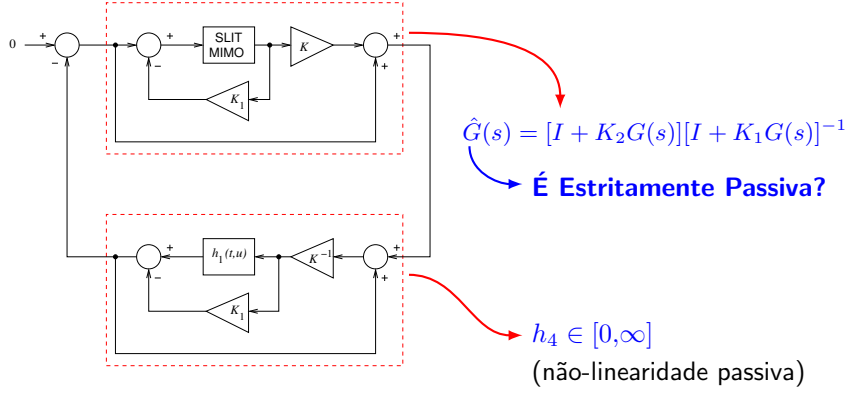






# Estabilidade Absoluta: Transformações de Laço





# Passividade Estrita de $\hat{G}(s)$

- A investigação da passividade de  $\hat{G}(s)$  é facilitada pelo fato de se poder relacionar dois conceitos importantes, em se tratando de SHTs:
  - 1 Passividade Estrita: depende do conhecimento de uma função de armazenamento, tal que o SLIT seja SP ou OSP + ZSO em relação à taxa de fornecimento  $s(u,y) = u^{\top}y$ .
  - 2 Positividade Real Estrita: pode ser verificada no domínio da frequência, ou a partir do conhecimento de uma realização mínima (A,B,C,D) para o SLIT.

## Teorema (Passividade Estrita e Positividade Real Estrita)

Um SLIT é estritamente passivo se, e somente se, sua Função de Transferência é Estritamente Real Positiva.

# Funções de Transferência Reais Positivas I

## Definição (Funções de Transferência Reais Positivas – SISO)

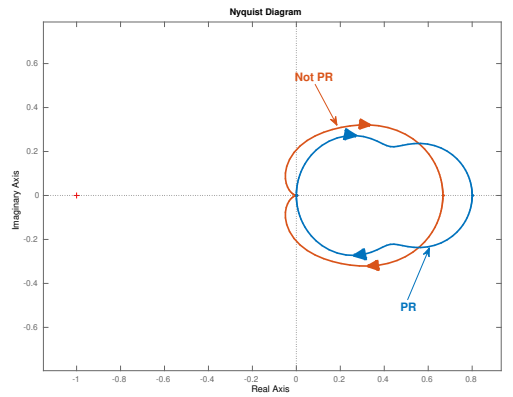
- **1** G(s) é analítica para  $\operatorname{Re}\{s\} > 0$ , e é real  $\forall s \in \mathbb{R}^+$ .
- $\mathbb{R} = \{G(s)\} \ge 0$ , sempre que  $\mathbb{R} = \{s\} > 0$ .

Alternativamente (mais fácil de testar):

- G(s) é uma função racional de s que é analítica para  $Re\{s\} > 0$ , i.e. não tem polos no semiplano direito aberto do plano complexo.
- $\mathbb{Z} \operatorname{Re} \{G(j\omega)\} > 0$ , para todo  $\omega \in \mathbb{R}$  que não seja um polo de  $G(j\omega)$ .
- 3 Qualquer polo  $j\omega$  é um polo simples, e o seu resíduo correspondente é não-negativo, i.e.  $\lim_{s\to j\omega} [(s-j\omega)G(s)] \geq 0$ .

Deduz-se, portanto, que, se G(s) é PR, então a FT não tem polos no semiplano direito aberto do plano complexo, sua parte imaginária é nula para valores reais e positivos de s, e sua parte real é positiva para valores de s fora do eixo real e no semiplano direito aberto.

■ No caso SISO, como Re  $\{G(j\omega)\} \ge 0$ ,  $\forall \omega \in \mathbb{R}$  (tal que  $j\omega$  não é um polo), isso significa que o **Diagrama de Nyquist de** G(s) precisa estar completamente contido no semiplano direito do Plano Imagem:



# Funções de Transferência Reais Positivas III

 Consequentemente, uma condição necessária para que a FT seja Real Positiva (Positive Real) é que

$$-90^{\circ} \le \arg\{G(j\omega)\} \le +90^{\circ},$$

e, portanto, o grau relativo da FT (diferença entre a ordem do denominador e a ordem do numerador) deve ser  $r \leq 1$ , pois o ângulo da função racional  $G(j\omega)$  quando  $\omega \to \infty$  é igual a  $(-90^{\circ})r$ .

## Funções de Transferência Reais Positivas IV

### Definição (Funções de Transferência Reais Positivas – MIMO)

- **I** G(s) é analítica para  $\operatorname{Re}\{s\} > 0$ , i.e. nenhum elmento de G(s) tem polos no semiplano direito aberto do plano complexo.
- **2** G(s) é uma matriz real, sempre que  $s \in \mathbb{R}^+$ ;
- $G(s) + G^*(s) \ge 0$ , sempre que  $Re\{s\} > 0$ .

Alternativamente (mais fácil de testar):

- **I** G(s) é analítica para  $\operatorname{Re}\{s\} > 0$ , cujos elementos são funções racionais de s, i.e. nenhum elmento de G(s) tem polos no semiplano direito aberto do plano complexo.
- $G(j\omega) + G^*(j\omega) > 0$ ,  $\forall \omega \in \mathbb{R}$ , em que  $j\omega$  não é um polo de  $G(j\omega)$ ;
- **3** Qualquer polo  $j\omega$  de qualquer elemento de G(s) é um polo simples e a matriz resíduo correspondente  $R = \lim_{s \to j\omega} [(s - j\omega)G(s)]$  é semidefinida positiva e Hermitiana.

# Funções de Transferência Reais Positivas V

Além disso, é possível verificar se uma dada G(s) é Real Positiva a partir do conhecimento de uma realização mínima (A,B,C,D):

### Lema (Real Positivo)

A representação em espaço de estados (A,B,C,D), mínima, de um SLIT; i.e. assumindo-se o par (A,B) controlável, e o par (C,A) observável; é Real Positiva se, e somente se, existe uma matriz  $P = P^{\top} > 0$ . e matrizes quaisquer L e W de dimensões appropriadas, tal que

$$PA + A^{\top}P = -L^{\top}L,$$
 
$$PB = C^{\top} - L^{\top}W,$$
 
$$W^{\top}W = D + D^{\top}.$$

## Funções de Transferência Reais Positivas VI

Alternativamente, pode-se verificar a factibilidade da desigualdade matricial linear (Linear Matrix Inequality - LMI) abaixo:

### Lema (Real Positivo usando LMI)

A representação em espaço de estados (A,B,C,D), mínima, de um SLIT; i.e. assumindo-se o par (A,B) controlável, e o par (C,A) observável; é Real Positiva se, e somente se, existe uma matriz  $P = P^{\top} > 0$ , tal que

$$\begin{bmatrix} PA + A^{\top}P & PB - C^{\top} \\ B^{\top}P - C & -(D + D^{\top}) \end{bmatrix} \le 0.$$

A relação entre os dois lemas pode ser deduzida, observando-se que as igualdades anteriores conduzem a seguinte relação:

$$\begin{bmatrix} PA + A^\top P & PB - C^\top \\ B^\top P - C & -(D + D^\top) \end{bmatrix} = - \begin{bmatrix} L^\top \\ W^\top \end{bmatrix} \begin{bmatrix} L & W \end{bmatrix} \leq 0.$$

## Funções de Transferência Estritamente Reais Positivas I

#### Definição (Funções de Transferência Estritamente Reais Positivas)

Uma Função de Transferência  $G(s) \in \mathbb{C}^{n \times n}$  é **Estritamente** Real Positiva se, e somente se,  $G(s-\epsilon)$  é Real Positiva para algum valor real  $\epsilon > 0$ .

A partir desta definição, as definições anteriores podem ser reescritas. conforme mostrado a seguir.

#### Definição (Funções de Transferência Estritamente Reais Positivas – Caso SISO)

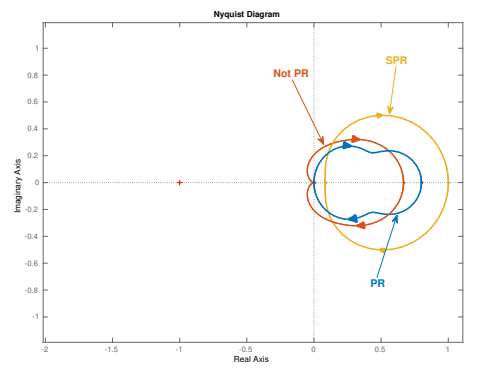
- **1** G(s) é analítica para  $\operatorname{Re}\{s\} > 0$ , e G(s) é real  $\forall s \in \mathbb{R}^+$ . Deduz-se, portanto, que todos os polos estão estritamente no semiplano esquerdo.
- $\mathbf{Re}\left\{G(s)\right\} > 0$ , sempre que  $\mathbf{Re}\left\{s\right\} > 0$ .

Alternativamente (mais fácil de testar):

- **I** G(s) é uma função racional de s que é analítica para  $\operatorname{Re}\{s\} > 0$ , i.e. todos os polos estão estritamente no semiplano esquerdo.
- $\mathbb{R} = \{G(j\omega)\} > 0, \ \forall \omega \in [0,\infty);$
- $G(\infty) > 0$  ou, se  $G(\infty) = 0$ , deve-se ter  $\lim_{\omega \to \infty} \omega^2 \operatorname{Re} \{G(i\omega)\} > 0.$

## Funções de Transferência Estritamente Reais Positivas III

 Se o Diagrama de Nyquist estiver contido no semiplano direito do Plano Imagem, e nunca tocar o eixo imaginário; i.e.  $\operatorname{Re} \{G(j\omega)\} > 0$ ,  $\forall \omega \in [0,\infty) \cup +\infty$ ; pode-se deduzir que a FT é Estritamente Real Positiva (Strictly Positive Real) - SPR:



## Funções de Transferência Estritamente Reais Positivas IV

### Definição (Funções de Transferência Estritamente Reais Positivas – Caso MIMO)

- **1** G(s) é analítica para  $\operatorname{Re}\{s\} \geq 0$ , i.e. todos os elementos de G(s)tem polos estritamente no semiplano esquerdo.
- G(s) é uma matriz real, sempre que  $s \in \mathbb{R}^+$ ;
- $G(s) + G^*(s) > 0$ , sempre que  $Re\{s\} > 0$ .

Equivalentemente (mais fácil de testar):

- **1** G(s) é analítica para  $\operatorname{Re}\{s\} > 0$ , i.e. todos os elementos de G(s)tem polos estritamente no semiplano esquerdo.
- $G(j\omega) + G^*(j\omega) > 0, \forall \omega \in \mathbb{R};$
- $G(\infty) + G^*(\infty) > 0$  ou, se  $G(\infty) + G^*(\infty) = 0$ , deve-se ter  $\lim_{\omega\to\infty}\omega^{2(n-r)}\det\left[G(j\omega)+G^*(j\omega)\right]>0$ , sendo n o número de linhas e colunas de G(s) e r é o posto da matriz  $[G(\infty) + G^*(\infty)]$ .

## Funções de Transferência Estritamente Reais Positivas V

Além disso, é possível verificar se uma dada  $\hat{G}(s)$  é Estritamente Real Positiva a partir do conhecimento de uma realização mínima (A,B,C,D):

#### Lema (Kalman-Yakubovich-Popov)

A representação em espaço de estados (A,B,C,D), mínima, de um SLIT; i.e. assumindo-se o par (A,B) controlável, e o par (C,A) observável; é Estritamente Real Positiva (SPR - Strictly Positive Real) se, e somente se, existe uma matriz  $P = P^{\top} > 0$ , uma constante  $\epsilon > 0$ , e matrizes quaisquer L e W de dimensões appropriadas, tal que

$$PA + A^{\top}P = -L^{\top}L - \epsilon P,$$
 
$$PB = C^{\top} - L^{\top}W,$$
 
$$W^{\top}W = D + D^{\top}.$$

Alternativamente, pode-se verificar a factibilidade da desigualdade matricial linear (Linear Matrix Inequality - LMI) abaixo:

### Lema (KYP usando LMI)

Um SLIT  $\hat{G}(s)$  com representação em espaço de estados mínima (A,B,C,D); i.e. o par (A,B) é controlável, e o par (C,A) é observável; é Estritamente Real Positivo se, e somente se, existe uma matriz  $P = P^{\top} > 0$ , e um valor real  $\epsilon > 0$ , tal que

$$\begin{bmatrix} PA + A^{\top}P - \epsilon P & PB - C^{\top} \\ B^{\top}P - C & -(D + D^{\top}) \end{bmatrix} \le 0.$$

Observe que as igualdades anteriores conduzem a seguinte relação:

$$\begin{bmatrix} PA + A^\top P - \epsilon P & PB - C^\top \\ B^\top P - C & -(D + D^\top) \end{bmatrix} = - \begin{bmatrix} L^\top \\ W^\top \end{bmatrix} \begin{bmatrix} L & W \end{bmatrix} \leq 0.$$

### O Critério do Círculo I

- O Critério do Círculo é um método para análise de estabilidade de sistemas não lineares que podem ser representados como um SLIT em realimentação negativa com uma não linearidade sem memória e possivelmente variante no tempo.
- Por meio de *Transformações de Laco*, investiga-se se o problema equivalente de estabilidade corresponde à composição em realimentação de um SLIT estritamente passivo com uma não-linearidade setorial passiva.

#### Teorema (Critério do Círculo)

Um sistema composto por um SLIT, dado por

$$G(s) = C(sI - A)^{-1}B + D,$$

em realimentação negativa com uma não linearidade setorial

$$h \in [K_1, K_2], \quad K_2 - K_1 = K = K^{\top} > 0,$$

será globalmente uniformemente assintoticamente estável se

$$\hat{G}(s) = [I + K_2 G(s)][I + K_1 G(s)]^{-1}$$

for uma função de transferência Estritamente Real Positiva.

■ Se G(s) é um sistema SISO, usando  $K_2 = \beta$  e  $K_1 = \alpha$ , com  $\beta - \alpha > 0$ , tem-se que

$$\hat{G}(s) = \frac{1 + \beta G(s)}{1 + \alpha G(s)}.$$

- Três casos podem ser considerados:
  - 1  $\beta > \alpha > 0$ ;
  - $\beta > \alpha = 0$ :
  - $\beta > 0 > \alpha$ .

## O Critério do Círculo - Caso SISO II

**1** Caso  $\beta > \alpha > 0$ :

Uma vez que  $\alpha > 0$ , podemos escrever que

$$\hat{G}(s) = \left(\frac{\beta}{\alpha}\right) \left[\frac{\frac{1}{\beta} + G(s)}{\frac{1}{\alpha} + G(s)}\right].$$

Note que, se  $G(j\omega)=x+jy$  (coordenadas x e y usadas para se traçar Diagramas de Nyquist de G(s)), então

$$\hat{G}(j\omega) = \left(\frac{\beta}{\alpha}\right) \frac{\frac{1}{\beta} + x + jy}{\frac{1}{\alpha} + x + jy},$$

$$\hat{G}(j\omega) = \left(\frac{\beta}{\alpha}\right) \frac{\left(\frac{1}{\beta} + x + jy\right)\left(\frac{1}{\alpha} + x - jy\right)}{\left(\frac{1}{\alpha} + x\right)^2 + y^2}.$$
(4)

Como  $\hat{G}(s)$  tem que ser um sistema estritamente estável (todos os polos estritamente no semiplano esquerdo), usando o Critério de Nyquist para avaliar se há raízes da equação característica

$$\frac{1}{\alpha} + G(s) = 0$$

no semiplano direito **fechado**, queremos que não exista  $\omega \in \mathbb{R}$ , tal que  $s=j\omega$  seja uma raíz da equação acima e, portanto,

$$(\operatorname{Re}\left\{G(j\omega)\right\}; \operatorname{Im}\left\{G(j\omega)\right\}) = (x; y) \neq \left(-\frac{1}{\alpha}; 0\right), \tag{5}$$

isto é, o Diagrama de Nyquist de G(s) não passa exatamente pelo ponto  $(-1/\alpha;0)$ , mas pode haver necessidade de enlaçá-lo ou não, dependendo se G(s) tem ou não polos no semiplano direito.

## O Critério do Círculo – Caso SISO IV

Usando a expressão (4), e assumindo (5), para que  $\hat{G}(s)$  seja SPR, com  $(\beta/\alpha) > 0$ , tem-se que

$$\operatorname{Re}\left\{\hat{G}(j\omega)\right\} = \left(\frac{\beta}{\alpha}\right) \left[\left(\frac{1}{\beta} + x\right)\left(\frac{1}{\alpha} + x\right) + y^{2}\right] > 0,$$

$$\Leftrightarrow \left(\frac{1}{\beta} + x\right)\left(\frac{1}{\alpha} + x\right) + y^{2} > 0.$$

Portanto.

$$\left[ \left( \frac{1}{2\beta} + \frac{1}{2\alpha} + x \right) + \left( \frac{1}{2\beta} - \frac{1}{2\alpha} \right) \right] \left[ \left( \frac{1}{2\beta} + \frac{1}{2\alpha} + x \right) - \left( \frac{1}{2\beta} - \frac{1}{2\alpha} \right) \right] + y^2 > 0,$$

$$\left( x + \frac{1}{2\beta} + \frac{1}{2\alpha} \right)^2 - \left( \frac{1}{2\beta} - \frac{1}{2\alpha} \right)^2 + y^2 > 0,$$

Portanto, o Diagrama de Nyquist construído a partir de  $G(j\omega) = x + jy$  deve ser tal que

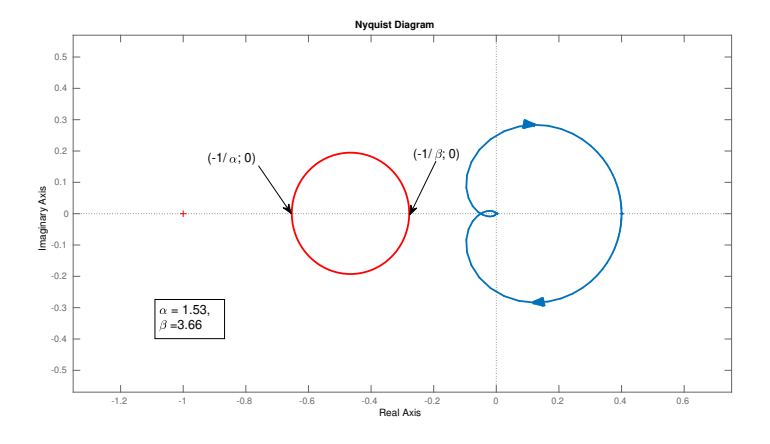
$$\left[x + \frac{1}{2}\left(\frac{1}{\alpha} + \frac{1}{\beta}\right)\right]^2 + y^2 > \left[\frac{1}{2}\left(\frac{1}{\alpha} - \frac{1}{\beta}\right)\right]^2.$$
 (6)

A expressão (6) significa que o Diagrama de Nyquist não pode "entrar" no círculo:

- Centro:  $-\frac{1}{2}\left(\frac{1}{\alpha} + \frac{1}{\beta}\right)$ ;
- Raio:  $\frac{1}{2} \left( \frac{1}{\alpha} \frac{1}{\beta} \right)$ ;

mostrado na próxima figura como um círculo vermelho.

## O Critério do Círculo – Caso SISO VI



#### **2** Caso $\beta > \alpha = 0$ :

Neste caso

$$\hat{G}(s) = 1 + \beta G(s),$$

e, para que  $\hat{G}(s)$  seja estritamente estável, G(s) não pode ter nenhum polo no semiplano direito fechado. Assim, para que G(s)seja SPR, com  $\beta > 0$ , e assumindo que  $G(j\omega) = x + jy$ , tem-se que

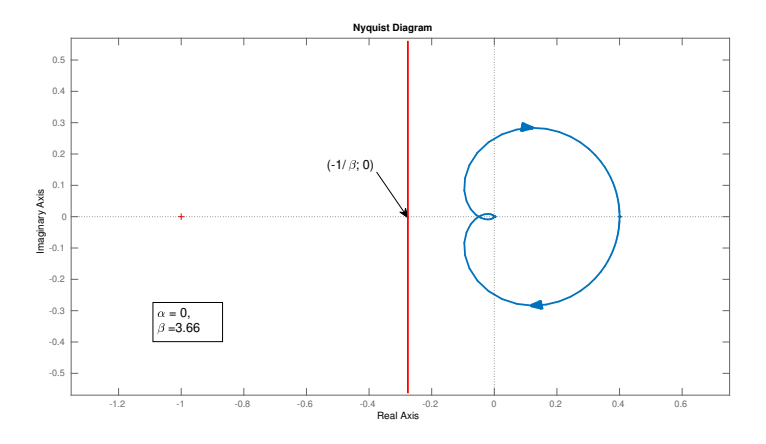
$$\operatorname{Re}\left\{\hat{G}(j\omega)\right\} = 1 + \beta \operatorname{Re}\left\{G(j\omega)\right\} = 1 + \beta x > 0.$$

Logo

$$x > -1/\beta$$
,

e o Diagrama de Nyquist de G(s) não pode tocar a reta mostrada na próxima figura em vermelho.

## O Critério do Círculo – Caso SISO VIII



#### 3 Caso $\beta > 0 > \alpha$ :

Similarmente ao que foi feito no caso 1 anterior, como  $\alpha < 0 \Rightarrow \alpha \neq 0$ ,

$$\hat{G}(s) = \left(\frac{\beta}{\alpha}\right) \left[\frac{\frac{1}{\beta} + G(s)}{\frac{1}{\alpha} + G(s)}\right].$$

Para que  $\hat{G}(s)$  seja SPR, com  $(\beta/\alpha) < 0$ , tem-se que

$$\operatorname{Re}\left\{\hat{G}(j\omega)\right\} = \left(\frac{\beta}{\alpha}\right) \left[\left(\frac{1}{\beta} + x\right)\left(\frac{1}{\alpha} + x\right) + y^{2}\right] > 0,$$

$$\Leftrightarrow \left(\frac{1}{\beta} + x\right)\left(\frac{1}{\alpha} + x\right) + y^{2} < 0.$$

Portanto.

$$\label{eq:continuous_equation} \begin{split} \left[ \left( \frac{1}{2\beta} + \frac{1}{2\alpha} + x \right) + \left( \frac{1}{2\beta} - \frac{1}{2\alpha} \right) \right] \left[ \left( \frac{1}{2\beta} + \frac{1}{2\alpha} + x \right) - \left( \frac{1}{2\beta} - \frac{1}{2\alpha} \right) \right] + y^2 < 0, \\ \left( x + \frac{1}{2\beta} + \frac{1}{2\alpha} \right)^2 - \left( \frac{1}{2\beta} - \frac{1}{2\alpha} \right)^2 + y^2 < 0, \end{split}$$

E o Diagrama de Nyquist construído a partir de  $G(j\omega) = x + jy$ deve ser tal que

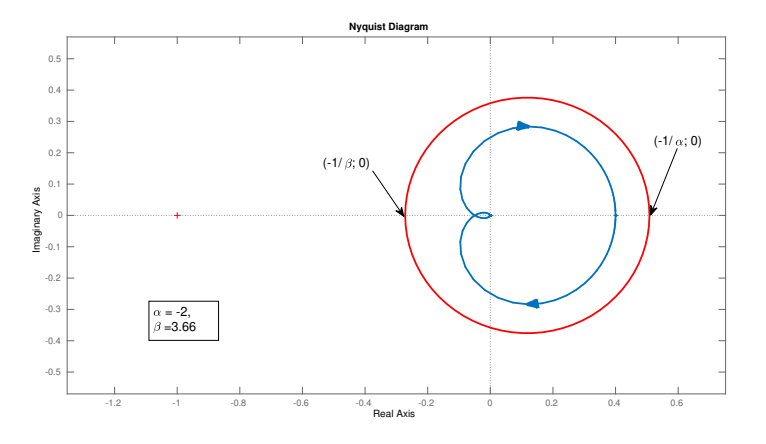
$$\left[x + \frac{1}{2}\left(\frac{1}{\alpha} + \frac{1}{\beta}\right)\right]^2 + y^2 < \left[\frac{1}{2}\left(\frac{1}{\alpha} - \frac{1}{\beta}\right)\right]^2. \tag{7}$$

A expressão (6) significa que o Diagrama de Nyquist deve estar dentro do círculo:

- Centro:  $-\frac{1}{2}\left(\frac{1}{\alpha}+\frac{1}{\beta}\right)$ ;
- Raio:  $\frac{1}{2} \left( \frac{1}{\alpha} \frac{1}{\beta} \right)$ .

Um exemplo está mostrado na próxima figura como um círculo vermelho.

## O Critério do Círculo – Caso SISO XI



# O Critério de Popov I

- Considere um Problema de Estabilidade Absoluta tal que:
  - O SLIT tem grau relativo r > 1.
  - A função estática não linear é invariante no tempo e "desacoplada":

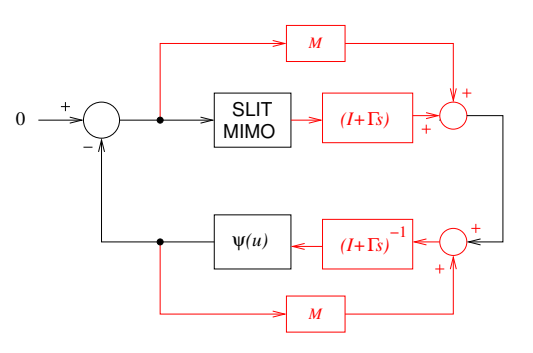
$$\psi(u) = \begin{bmatrix} \psi_1(u_1) \\ \psi_2(u_2) \\ \vdots \\ \psi_m(u_m) \end{bmatrix} \neq \begin{bmatrix} \psi_1(u_1, u_2, \dots, u_m) \\ \psi_2(u_1, u_2, \dots, u_m) \\ \vdots \\ \psi_m(u_1, u_2, \dots, u_m) \end{bmatrix}$$

■ Cada componente da função  $\psi(u)$  pertence ao setor:

$$\psi_i(u_i) \in [0; k_i], \quad k_i > 0, \quad i = 1, 2, \dots, m.$$

# O Critério de Popov II

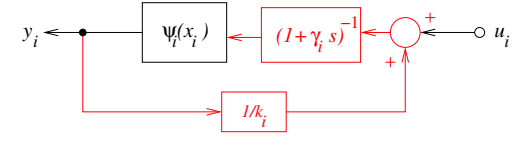
• Como o grau relativo do SLIT é r > 1, pode-se obter um problema de estabilidade equivalente ao problema de estabilidade absoluta original, via introdução de sistemas dinâmicos (e seus correspondentes inversos) chamados de "multiplicadores de Popov":



$$M = \text{diag} \{ 1/k_1, \\ 1/k_2, \\ \dots, \\ 1/k_m \},$$

$$(I + \Gamma s) = \text{diag} \{ \\ 1 + \gamma_1 s, \\ 1 + \gamma_2 s, \\ \dots, \\ 1 + \gamma_m s \}$$

 Dadas as características do problema (não linearidade desacoplada e multiplicador diagonal), na realimentação negativa surgem msistemas não lineares  $\Sigma_i$ , desacoplados, do tipo:



A dinâmica de cada um destes sistemas pode ser representada como

$$\Sigma_i : \begin{cases} \gamma_i \dot{x}_i = -x_i + u_i + \frac{1}{k_i} \psi_i(x_i), \\ y_i = \psi_i(x_i). \end{cases}$$

■ Cada sistema  $\Sigma_i$  é passivo, como pode ser comprovado pelo uso da seguinte Função de Armazenamento, válida (semidefinida positiva) se  $\gamma_i > 0$ :

$$\begin{split} V_i(x_i) &= \gamma_i \int_0^{x_i} \psi_i(\sigma) d\sigma. \\ \dot{V}_i &= \gamma_i \psi_i(x_i) \dot{x}_i = \psi_i(x_i) \left[ -x_i + u_i + \frac{1}{k_i} \psi_i(x_i) \right], \\ &= u_i \underbrace{\psi_i(x_i)}_{y_i} - x_i \psi_i(x_i) + \frac{1}{k_i} \psi_i^2(x_i). \end{split}$$
 Cond. setor: 
$$[0x_i - \psi_i(x_i)] \left[ k_i x_i - \psi_i(x_i) \right] \leq 0, \\ \Rightarrow - x_i \psi_i(x_i) + \frac{1}{k_i} \psi_i^2(x_i) \leq 0. \\ \Rightarrow \dot{V}_i \leq u_i y_i. \end{split}$$

# O Critério de Popov V

Já o SLIT equivalente



pode ser representado em Espaço de Estados a partir da representação mínima (A,B,C,D) do sistema original, observando que o grau relativo r > 1:

$$\hat{G}(s) = M + (I + \Gamma s)G(s) = M + (I + \Gamma s) \left[ C(sI - A)^{-1}B + \mathcal{D}^{0} \right]$$

$$= M + C(sI - A)^{-1}B + \Gamma s \left[ C(sI - A)^{-1}B \right],$$

em que  $\Gamma = \operatorname{diag}\{\gamma_1, \gamma_2, \dots, \gamma_m\}.$ 

## O Critério de Popov VI

Como  $s \in \mathbb{C}$  é um escalar,

$$\begin{split} \hat{G}(s) &= M + C(sI - A)^{-1}B + \Gamma s \left[ C(sI - A)^{-1}B \right], \\ &= M + C(sI - A)^{-1}B + \Gamma Cs(sI - A)^{-1}B, \\ &= M + C(sI - A)^{-1}B + \Gamma C(A + sI - A)(sI - A)^{-1}B, \\ &= M + C(sI - A)^{-1}B + \Gamma CA(sI - A)^{-1}B + \Gamma CB, \\ &= (C + \Gamma CA)(sI - A)^{-1}B + M + \Gamma CB, \end{split}$$

tal que

$$\hat{G}(s) \equiv (\hat{A}, \hat{B}, \hat{C}, \hat{D}) = (A, B, C + \Gamma CA, M + \Gamma CB).$$

■ Entretanto, para que seja possível usar o resultado de análise de estabilidade baseada em passividade (o Lema de KYP), precisamos garantir que  $(\hat{A}, \hat{B}, \hat{C}, \hat{D})$  seja uma realização mínima de  $\hat{G}(s)$ .

# O Critério de Popov VII

- Claramente o par  $(\hat{A},\hat{B})=(A,B)$  é controlável, partindo da hipótese de que (A,B,C,D) é uma realização mínima para G(s).
- No caso do par  $(\hat{C},\hat{A})=(C+\Gamma CA,A)$  precisamos ser mais cuidadosos. A observabilidade pode ser verificada usando diferentes critérios matematicamente equivalentes como, por exemplo, o critério PBH Popov-Belevitch-Hautus:

O par (C,A) é observável se, e somente se, nenhum autovetor de A pertencer ao Espaço Nulo de C, isto é,  $Cv_j \neq 0$ , para todo autovetor  $v_j$  de A:  $Av_j = \lambda_j v_j$ .

#### Logo:

Observabilidade: 
$$Av_j = \lambda_j v_j \Rightarrow (C + \Gamma CA)v_j \neq 0$$
,  
 $Cv_j + \Gamma C\lambda_j v_j \neq 0$ ,  
 $(I + \lambda_j \Gamma)Cv_j \neq 0$ .

Uma vez que  $Cv_j \neq 0$  por hipótese (o par (C,A) é observável), para garantir que a última expressão seja verdadeira a matriz  $(I+\lambda_j\Gamma)$  deve ser invertível, o que é conseguido fazendo

$$1 + \lambda_j \gamma_i \neq 0, \forall i \in 1, 2, \dots, m; j \in 1, 2, \dots, n$$
:

$$\det\{I+\lambda_{j}\Gamma\} = \det \left\{ \begin{bmatrix} 1+\lambda_{j}\gamma_{1} & 0 & \cdots & 0\\ 0 & 1+\lambda_{j}\gamma_{2} & \cdots & 0\\ \vdots & \vdots & \ddots & \vdots\\ 0 & 0 & \cdots & 1+\lambda_{j}\gamma_{m} \end{bmatrix} \right\} \neq 0.$$

# O Critério de Popov IX

- Portanto, o método de Popov para determinação da estabilidade absoluta, consiste em:
  - $\begin{array}{l} \textbf{1} \ \ \text{Obter} \ \hat{G}(s) = (A,B,[C+\Gamma CA]\,,[M+\Gamma CB]), \ \text{em que} \\ M = \operatorname{diag}\{1/k_1,1/k_2,\ldots,1/k_m\}, \ \text{usando valores} \ \gamma_i > 0 \ \text{para} \\ \text{formar} \ \Gamma = \operatorname{diag}\{\gamma_1,\gamma_2,\ldots,\gamma_m\}. \ \ \text{Os valores} \ \gamma_i \ \text{devem satisfazer} \\ 1+\lambda_j\gamma_i \neq 0, \forall i \in 1,2,\ldots,m; j \in 1,2,\ldots,n. \end{array}$
  - **2** E, como feito para o Critério do Círculo, testar se  $\hat{G}(s)$  é Estritamente Real Positiva, possivelmente usando uma LMI associada ao Lema de KYP.

## O Critério de Popov X

No caso SISO:

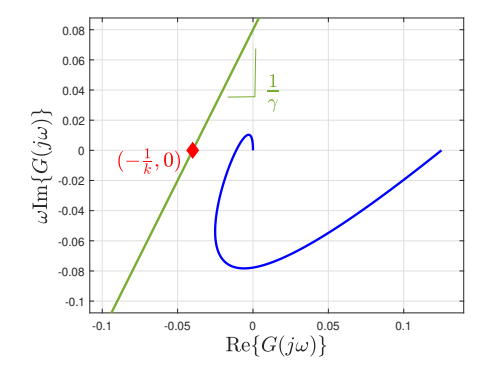
$$\hat{G}(s) = 1/k + (1 + \gamma s)G(s),$$

para algum  $\gamma>0$ , com  $\gamma\neq -\frac{1}{p_j}$ , sendo  $p_j$  algum polo real de G(s). Além disso, a condição SPR implica que G(s) precisa ser BIBO estável (todos os polos estritamente no semiplano esquerdo), e

$$\begin{split} \operatorname{Re}\{\hat{G}(j\omega)\} &= 1/k + \underbrace{\operatorname{Re}\{G(j\omega)\}}_{X} - \gamma \underbrace{\omega \operatorname{Im}\{G(j\omega)\}}_{Y} > 0, \\ \Rightarrow Y &< \frac{1}{\gamma} \left(X + \frac{1}{k}\right), \quad X = \operatorname{Re}\{G(j\omega)\}, Y = \omega \operatorname{Im}\{G(j\omega)\}. \end{split}$$

em que X e Y são as coordenadas dos pontos da curva traçada no chamado "Diagrama de Popov", similar, mas distinto do Diagrama de Nyquist.

# O Critério de Popov XI



A curva do Diagrama de Popov (em azul) deve estar abaixo da reta verde. A passagem por zero da reta (ponto vermelho) é determinada pelo setor da não linearidade estática, enquanto sua inclinação  $\gamma>0$  pode ser arbitrariamente escolhida, desde que  $\gamma\neq-\frac{1}{p_j}$ , com  $p_j$  algum polo real de G(s).



# Apêndice

# Obtenção do Sistema $\hat{G}(s)$ I

As transformações de laço usadas para se obter um problema de estabilidade equivalente ao problema de estabilidade absoluta original, mostradas no slide 21, conduzem a um novo Sistema Linear Invariante no Tempo – SLIT, o sistema  $\hat{G}(s)$ :

Considere o efeito da realimentação negativa, supondo que ela está bem-colocada:

$$Y(s) = G(s)U(s), (8)$$

$$U(s) = \hat{U}(s) - K_1 Y(s),$$
 (9)

de modo que, considerando a nova entrada exógena  $\hat{U}(s)$  e a mesma saída Y(s), teremos

$$Y(s) = \bar{G}(s) \, \hat{U}(s).$$

- 2 Para ver como se obtém duas diferentes maneiras de se expressar  $\bar{G}(s)$ , considere:
  - 2.1 Substituindo U(s) na expressão para Y(s):

$$Y = G\left[\hat{U} - K_1Y\right] \Rightarrow Y = G\hat{U} - GK_1Y,$$
$$[I + GK_1]Y = G\hat{U},$$
$$Y(s) = [I + GK_1]^{-1}G\hat{U}(s).$$

2.2 Substituindo a Y(s) na expressão para U(s):

$$U = \hat{U} - K_1 [GU],$$

$$[I + K_1 G] U = \hat{U} \Rightarrow U = [I + K_1 G]^{-1} \hat{U},$$

$$Y = GU \Rightarrow Y(s) = G[I + K_1 G]^{-1} \hat{U}(s).$$

# Obtenção do Sistema $\hat{G}(s)$ III

3 O resultado anterior também pode ser visto como uma aplicação de uma regra conhecida como push-through rule:

$$\bar{G}(s) = [I + G(s)K_1]^{-1}G(s) = G(s)[I + K_1G(s)]^{-1}.$$

Para mostrar que isso é verdade, considere que

$$G + GK_1G = G + GK_1G,$$
  

$$G(I + K_1G) = (I + GK_1)G,$$
  

$$(I + GK_1)^{-1}G = G(I + K_1G)^{-1},$$

desde que existam  $(I+GK_1)^{-1}$  e  $(I+K_1G)^{-1}$ .

# Obtenção do Sistema $\hat{G}(s)$ IV

A existência de  $(I+GK_1)^{-1}$  também garante a existência de  $(I+K_1G)^{-1}$ , pois  $\det{\{I+GK_1\}}=\det{\{I+K_1G\}}$ :

$$\underbrace{\begin{bmatrix} I & -K_1 \\ G & I \end{bmatrix}}_{M} = \underbrace{\begin{bmatrix} I & 0 \\ G & I \end{bmatrix}}_{P} \underbrace{\begin{bmatrix} I & 0 \\ 0 & I + GK_1 \end{bmatrix}}_{Q_1} \underbrace{\begin{bmatrix} I & -K_1 \\ 0 & I \end{bmatrix}}_{R},$$
$$= \underbrace{\begin{bmatrix} I & -K_1 \\ 0 & I \end{bmatrix}}_{R} \underbrace{\begin{bmatrix} I + K_1G & 0 \\ 0 & I \end{bmatrix}}_{Q_2} \underbrace{\begin{bmatrix} I & 0 \\ G & I \end{bmatrix}}_{P},$$

e  $\det\{M\} = \det\{PQ_1R\} = \det\{RQ_2P\}$ . Portanto,  $\det\{P\}\det\{Q_1\}\det\{R\} = \det\{R\}\det\{Q_2\}\det\{P\}$ , with  $\det\{P\} = \det\{R\} = 1$   $\Leftrightarrow \det\{Q_1\} = \det\{Q_2\} \Leftrightarrow \det\{I + GK_1\} = \det\{I + K_1G\}$ .

# Obtenção do Sistema $\hat{G}(s)$ V

4 Finalmente, podemos escrever que

$$Y(s) = [I + G(s)K_1]^{-1}G(s)\hat{U}(s) = G(s)[I + K_1G(s)]^{-1}\hat{U}(s),$$

$$\hat{Y}(s) = KY(s) + \hat{U}(s), \quad K = K_2 - K_1,$$

$$\hat{Y}(s) = \{KG(s)[I + K_1G(s)]^{-1} + I\}\hat{U}(s),$$

$$\hat{G}(s) = KG(s)[I + K_1G(s)]^{-1} + I$$

$$= KG(s)[I + K_1G(s)]^{-1} + [I + K_1G(s)][I + K_1G(s)]^{-1},$$

$$= [KG + I + K_1G][I + K_1G]^{-1},$$

$$\hat{G}(s) = [I + K_2G][I + K_1G]^{-1}.$$

# Referências Bibliográficas I



M. A. Aizerman.

On a problem related to global stability of dynamic systems. *Uspehi Mat. Nauk*, (4):187–188, 1949. In Russian.



🔒 R. E. Kalman.

Physical and mathematical mechanisms of instability in nonlinear automatic control systems.

Trans. of ASME, 79(3):553-566, 1957.



Anatolij Isaakovič Lur'e.

Some nonlinear problems in the theory of automatic control.

Her Majesty's Stationery Office, London, 1957.

Translated from the original in Russian, 1951.